

# Построение стегосистемы для растровых изображений на основе стохастической модуляции с учётом статистики младших бит

Е. Ю. Елтышева

В данной статье предлагается метод скрытия информации в младших битах растровых изображений, который был дополнен и улучшен с помощью применения известной схемы  $\pm 1$  встраивания. В отличие от  $\pm 1$  метода, наша схема кодирует внедряемое сообщение в соответствии с оценками вероятностей появления значений 0 и 1 в младших битах с целью минимального искажения статистики, свойственной «пустому» файлу-контейнеру. Способ встраивания бит в матрицу изображения аналогичен способу  $\pm 1$ . Проводится стегоанализ разработанного алгоритма и демонстрируется его преимущество в сравнении с первоначальным  $\pm 1$  методом внедрения.

*Ключевые слова:* стеганография, стегоанализ, LSB-методы, статистическая модель, арифметическое кодирование, идеальные стегосистемы, метод  $\pm 1$ .

## 1. Введение

Главной задачей стеганографии является организация передачи секретных данных таким образом, чтобы были скрыты и содержание сообщения, и сам факт его передачи. Для этого используют некоторые файлы, называемые контейнерами, в которые встраивается сообщение так, чтобы никто, кроме отправителя, не имел доступа одновременно к пустому и заполненному контейнеру. В качестве контейнеров могут использоваться различные файлы, не вызывающие подозрения при передаче. Например, аудиофайлы, видеофайлы, различные исполняемые файлы и цифровые фотографии. В данной работе в качестве контейнера мы используем 24-битовое растровое изображение в системе цветности RGB. Изображение представляется в виде матрицы, каждый пиксель которой соответствует видимой точке и задаётся значениями яркости трёх составляющих: красного (R), зелёного (G) и синего (B) цвета. Яркость каждой составляющей представлена 8-битным числом и может изменяться в диапазоне от 0 до 255. Скрываемая информация записывается в наименее значимые (младшие) биты цветовых составляющих, поэтому предлагаемый метод относится к широко известному классу LSB-методов. Таким образом, эмпирическая ёмкость таких методов составляет 1/8 от размера изображения.

В совершенной стегосистеме [1] пустые и заполненные контейнеры статистически неразличимы, что делает задачу выявления скрытого сообщения достаточно трудной. В работе [2] нами была предложена схема скрытия информации в младших битах растрового изображения, использующая кодирование внедряемого сообщения в соответствии с оценками вероятностей появления значений 0 и 1 в младших битах при минимальном искажении статистики, свойственной пустому контейнеру. В данной работе предлагается соединить такую схему с известным методом  $\pm 1$  встраивания [3]. Способ внедрения сообщения по типу  $\pm 1$  позволит усовершенствовать схему в плане стойкости к стегоанализу, в то же время использование статистической модели приблизит схему к совершенной.

## 2. Описание алгоритма

Изложим основные этапы построения стегосистемы, предложенной в работе [2]. На первом этапе изображение необходимо разделить на две части: одну часть для оценки статистики младших бит и вторую для внедрения информации с учётом этой статистики. Вторым этапом является построение самой статистической модели. Вследствие специфики выбранного вида контейнеров, была построена адаптивная модель, перестраивающая оценки вероятностей при переходе от одного фрагмента изображения к другому. Оценка вероятностей производилась в окне размером  $16 \times 16$  пикселей со сдвигом на 8 пикселей, по наиболее существенным элементам контекста, в наибольшей степени статистически связанных с младшими битами. На третьем этапе происходит последовательное формирование младших бит путём арифметического декодирования внедряемого сообщения с распределением вероятностей, определяемым соответствующим контекстом. Зашифрованное сообщение в данном случае рассматривается как код, построенный ранее соответствующим арифметическим кодером. Для извлечения зашифрованного сообщения мы применяем арифметическое кодирование, которому указываются те же самые распределения вероятностей, что и декодеру.

В нашей модели оценка статистики младших бит производилась по формуле Кричевского – Трофимова. То есть, если в некотором контексте  $X$  значение 0 встретилось  $n_{X,0}$  раз, а 1 –  $n_{X,1}$  раз, то можно получить оценку условных вероятностей по формуле:

$$P(0 | X) = \frac{2n_{X,0} + 1}{2(n_{X,0} + n_{X,1}) + 2}, \quad P(1 | X) = 1 - P(0 | X).$$

Из этого следует, что в ситуации, когда в данном контексте встречалось только одно значение, вероятность появления второго будет очень маленькой, но не нулевой. Таким образом, при внедрении сообщения, в область младших бит, состоящую только из нулей, может попасть единица. Наглядно данный пример можно увидеть на рис. 1.

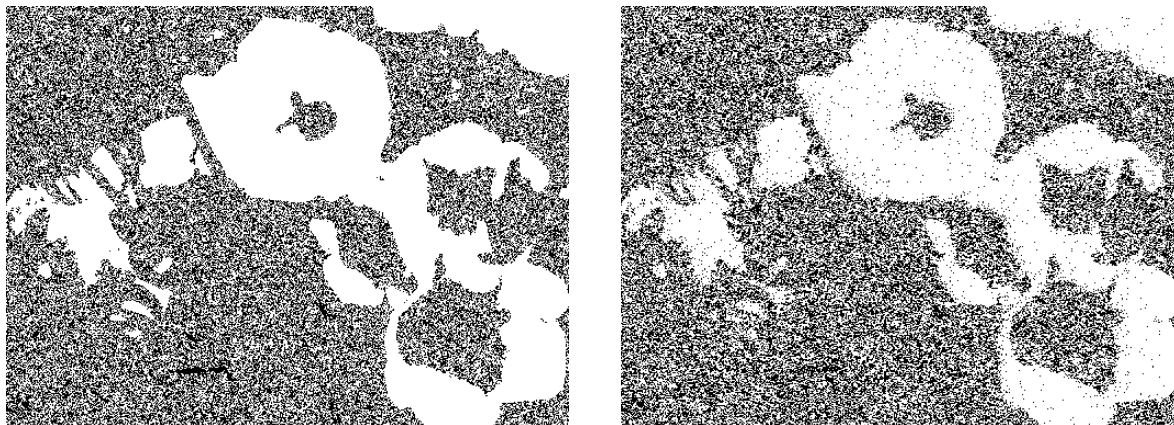


Рис. 1. Распределение младших бит до (слева) и после (справа) внедрения информации по описанной модели

Чтобы избежать подобных искажений, необходимо пропускать пиксели, для которых возникает такая ситуация. В результате данной модификации, наша предыдущая модель несколько улучшилась, что можно видеть на рис. 2.

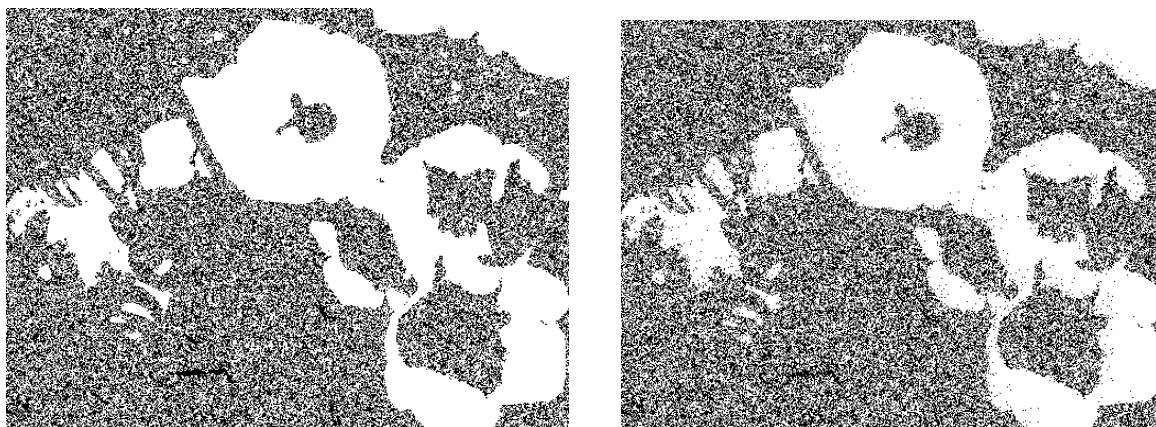


Рис. 2. Распределение младших бит до (слева) и после (справа) внедрения информации с учётом улучшения схемы

Учитывая последнюю модификацию, очевидно, что фактическая средняя ёмкость контейнера уменьшится. По исследованиям, проведённым на наборе из 800 bmp-файлов, средняя фактическая ёмкость контейнеров составила 37 % и 24 % соответственно для первоначальной и модифицированной версии стегосистемы.

Таким образом, мы имеем стеганографический метод, позволяющий в некоторой степени сохранить исходное распределение символов контейнера. Результаты стегоанализа, приведённые в работе [2], показывают, что метод нуждается в дальнейших улучшениях. С этой целью в данной работе предлагается объединить описанную стегосистему с известным методом  $\pm 1$  встраивания, который является частным случаем стохастической модуляции [3]. Такой метод позволяет встроить сообщение в матрицу растровых изображений путём добавления лёгкого шума с определённым случайным распределением вероятностей. Данный механизм встраивания маскирует искажения контейнера под некоторый шум, полученный вследствие специфики фотокамеры. Недостатком данной схемы является то, что распределение вероятностей младших бит практически полностью переходит в случайное. Это можно легко заметить, визуальное сравнив распределение взятых изолированно младших бит до и после внедрения (рис. 3):

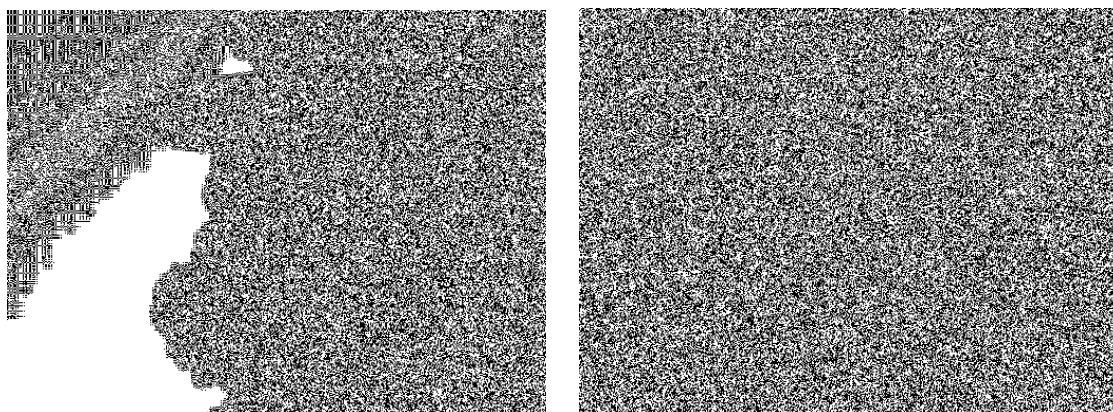


Рис. 3. Распределение младших бит до (слева) и после (справа) внедрения сообщения  $\pm 1$  методом на 100 %

Достаточно сравнить некоторое множество файлов, заполненных методом  $\pm 1$ , чтобы заподозрить тенденцию «затирания» рисунка младших бит. В контрастных фотографиях с яркими областями особенно явно должно просматриваться распределение, как на рис. 1 слева. Однако для того, чтобы сравнить результаты применения стегосистемы  $\pm 1$  и нашей модели, необходимо для обоих методов

установить равную фактическую ёмкость контейнеров. На рис. 4 приведены изображения младших бит для пустого контейнера (слева) и контейнера, заполненного на 24 % от общей ёмкости для методов LSB с помощью схемы  $\pm 1$ .

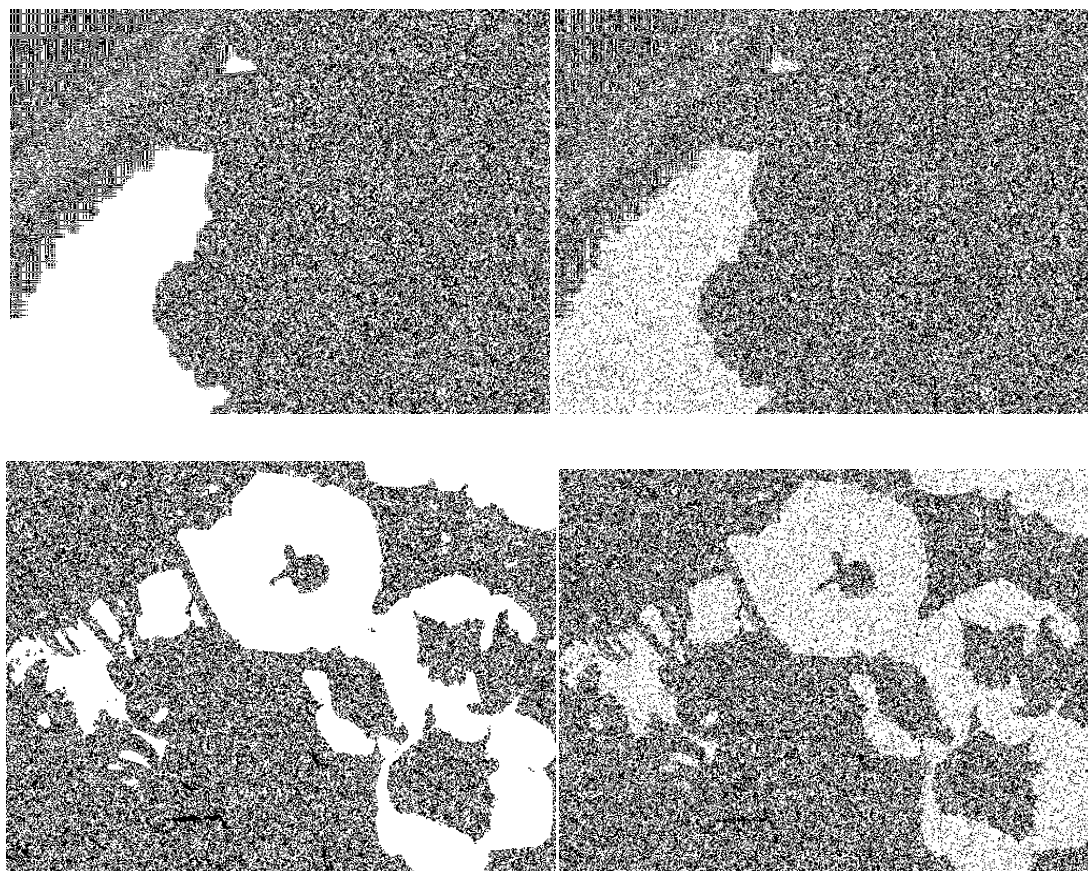


Рис. 4. Распределение младших бит до (слева) и после (справа) внедрения сообщения  $\pm 1$  методом на 24 %

Более конкретно можно судить о внедрении сообщения с «затиранием» распределения, оценив сравнительную энтропию в младших битах, что будет показано далее.

Таким образом, необходимо применить предложенную нами ранее статистическую модель для вычисления распределения вероятностей при внедрении по методу  $\pm 1$ . Назовём объединённый метод СТ-1 и изобразим схему работы метода на рис. 5.



Рис. 5. Схема работы метода СТ-1

Следовательно, для того, чтобы записать бит, полученный на выходе арифметического декодера, мы применяем схему обычного метода  $\pm 1$ . При этом используется секретный ключ в виде псевдослучайной последовательности, которая определяет нужную операцию – увеличение значения текущего байта на единицу или его уменьшение. Для крайних значений 0 и 255 предусмотрены следующие действия: если  $b_k = 0$  то  $b_k = b_k + 1$ , если  $b_k = 255$  то  $b_k = b_k - 1$ . Таким образом, в результате работы данного алгоритма встраивания, в младших битах будет записана информация, процесс извлечения которой не отличается от изложенного в нашей работе [2].

Распределение младших бит до и после заполнения контейнера по предложенному нами методу внедрения изображено на рис. 6.

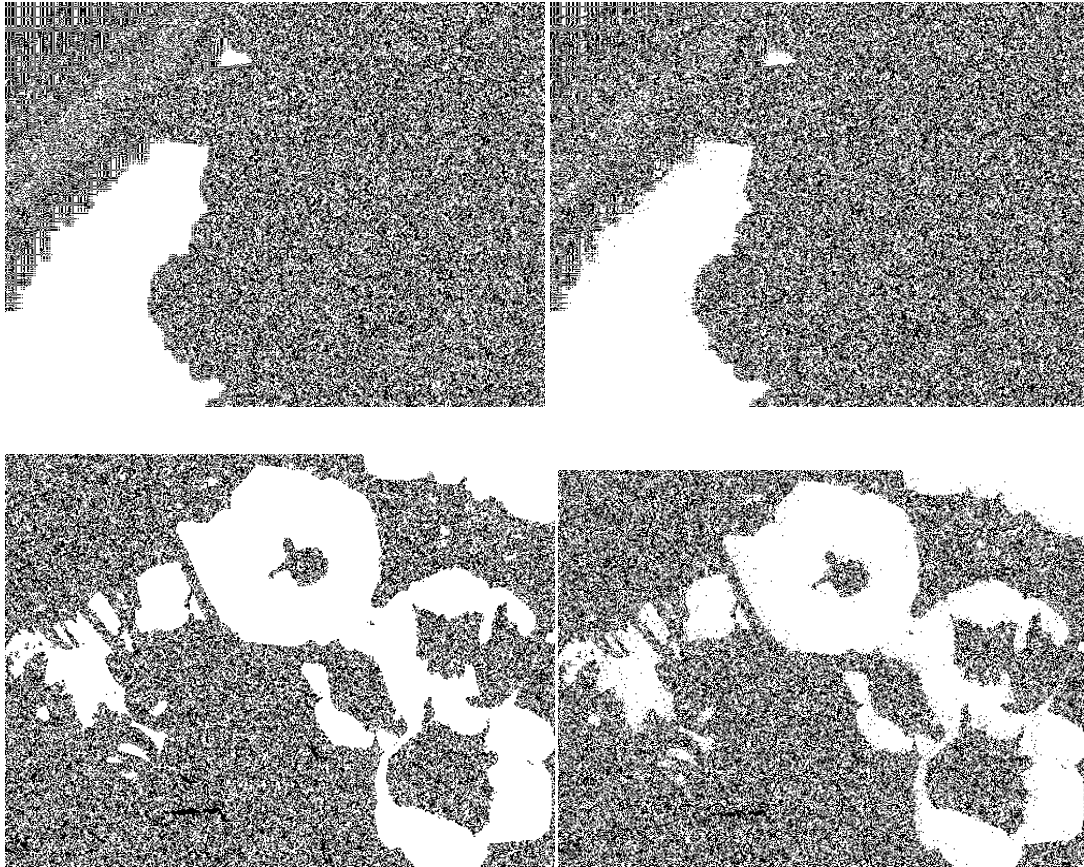


Рис. 6. Распределение младших бит до (слева) и после (справа) заполнения контейнера по предложенной схеме СТ-1. Ёмкость составляет 24 %

### 3. Исследование преимуществ объединенного метода СТ-1

Для того чтобы оценить отличие предложенного алгоритма от  $\pm 1$  метода внедрения, был разработан специальный тест, который состоит в исследовании распределения вероятностей младших бит в определённых областях изображения-контейнера. Например, светлые области отлично выделяются на рис. 7 (слева). Такие области, как белые, так и чёрные, мы можем использовать для сравнительной оценки энтропии. При этом, чтобы определить нужные фрагменты матрицы пикселей для вычисления энтропии в заполненном контейнере, необходимо использовать более старшие биты, которые остаются без изменения при внедрении информации. Очевидно, что распределение восьмых бит более схоже с распределением седьмых бит, поэтому их мы можем использовать для определения нужных областей, которые далее будем называть *полезными*. Рассмотрим распределение взятых изолированно восьмых (самых младших) бит и седьмых бит (рис. 7).

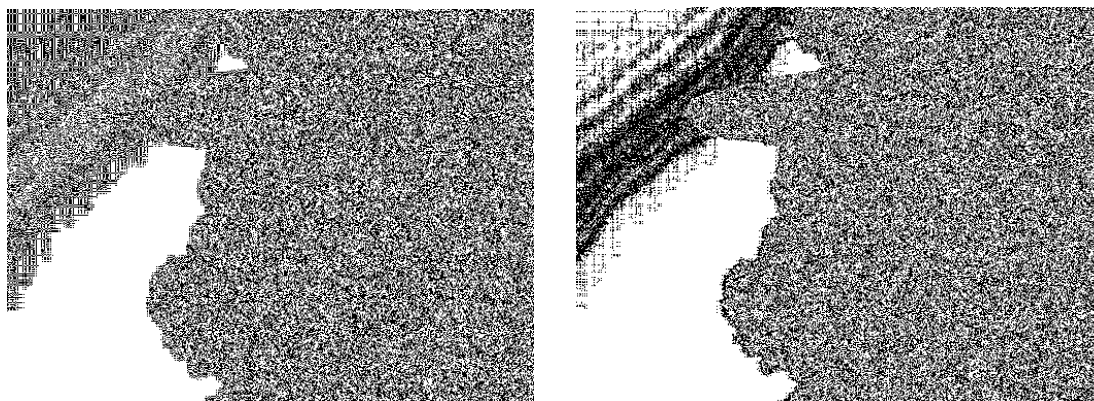


Рис. 7. Распределение восьмых (слева) и седьмых (справа) бит пустого изображения-контейнера

Так как в нашем методе скрытия оценивание статистики младших бит происходило последовательно в отдельно взятых квадратах  $16 \times 16$ , то и в данном случае целесообразно производить оценку по матрице в квадратах того же размера. Итак, считая энтропию распределения вероятностей седьмых бит в каждом квадрате матрицы изображения, мы можем определить полезные квадраты. Оценка энтропии производится по следующей формуле:

$$H = -P_0 \cdot \log_2 P_0 - P_1 \cdot \log_2 P_1, \quad (1)$$

где  $P_0$  и  $P_1$  – это вероятности появления нулевого и единичного бита соответственно. Далее, если  $H < 0.98$  для текущего квадрата, то он считается полезным, и мы можем взять соответствующий ему квадрат из восьмых бит, который будет составлять область для оценки энтропии младших бит в заполненном контейнере. Таким образом, по всей матрице изображения набирается некоторое множество квадратов, которые составляют полезную область. На рис. 8 справа чёрным цветом обозначены полезные квадраты для соответствующего распределения младших (восьмых) бит на том же рисунке слева.

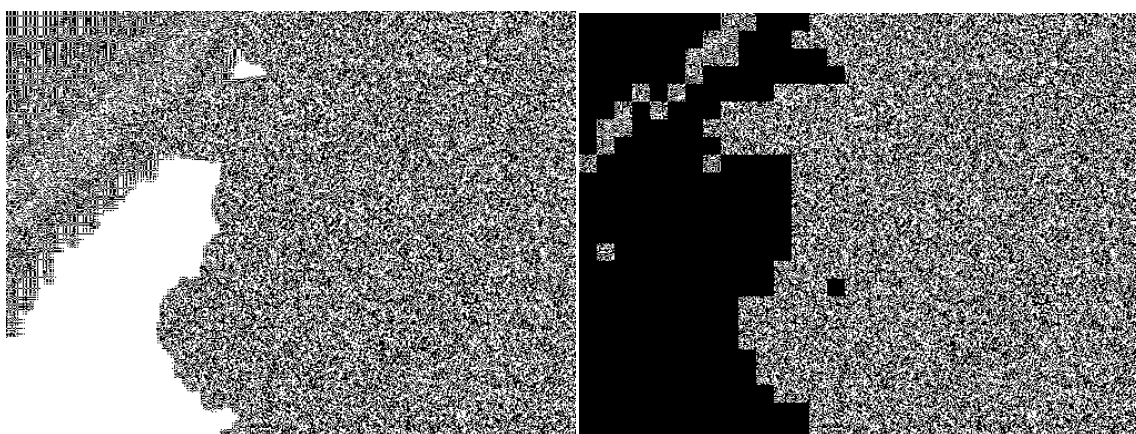


Рис. 8. Распределение младших бит (слева) и соответствующая полезная область (справа) на примере исходного изображения

Полученная область младших бит, состоящая из квадратов размером  $16 \times 16$  пикселей, используется для того, чтобы найти минимальное значение энтропии отдельно взятых квадратов полезной области. На заданном наборе пустых контейнеров сравним количество файлов, для которых полученный минимум энтропии попадает в определённый диапазон. Результаты

данного теста на наборе из 400 контейнеров размерами  $512 \times 384$  и  $1024 \times 768$  приведены в таблице 1.

Таблица 1. Результаты теста на наборе из 400 пустых контейнеров

Значение минимума энтропии	Доля файлов из набора пустых контейнеров размером $512 \times 384$ , %	Доля файлов из набора пустых контейнеров размером $1024 \times 768$ , %
$0.9 < H \leq 1$	58	44
$0.8 < H \leq 0.9$	7	13
$0.7 < H \leq 0.8$	2	4
$0.6 < H \leq 0.7$	2	2
$0.5 < H \leq 0.6$	2	2
$0.4 < H \leq 0.5$	2	0
$0.3 < H \leq 0.4$	2	1
$0.2 < H \leq 0.3$	2	2
$0.1 < H \leq 0.2$	1	2
$0 < H \leq 0.1$	4	2
$H = 0$	18	28

Мы видим, что большинство файлов имеет минимальную по областям энтропию, близкую к единице, а также существенен процент файлов с наличием чисто чёрных или чисто белых областей, о чём свидетельствует последняя строка табл. 1. Очевидно, минимальное значение энтропии квадратов зависит от качества и размера полезной области изображения. Например, фотография с распределением младших бит, показанных на рис. 9, является типичным изображением, для которого полезная область оказалась слишком маленькой и некачественной.

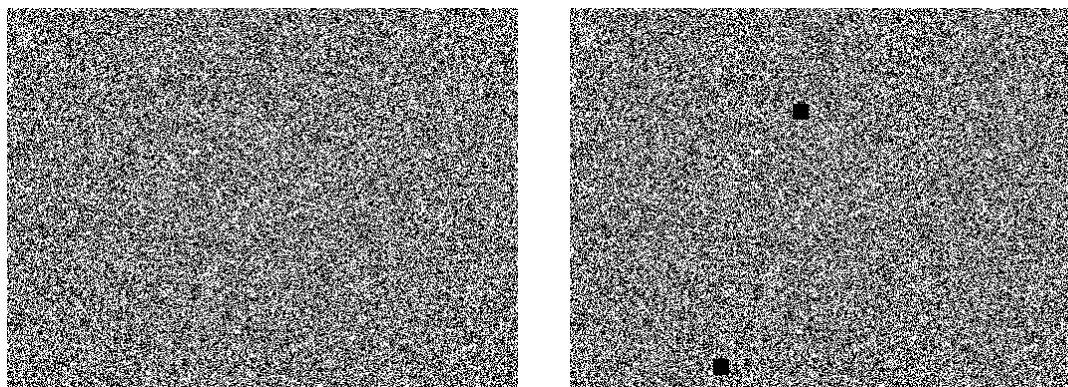


Рис. 9. Распределение младших бит (слева) и полезная область (справа) для пустого «шумного» изображения-контейнера

Для таких файлов, которые составили более половины от общего набора фотографий, заполнение по методу  $\pm 1$  не внесёт видимых искажений в распределение младших бит, так как оно изначально является близким к случайному распределению и не подходит для нашего теста.

Исследуем заполненные контейнеры с помощью описанного теста и сравним с результатом тестирования соответствующих пустых контейнеров (таблицы 2 и 3).

Таблица 2. Результаты теста на файлах размером  $512 \times 384$  точек

Значение минимума энтропии	Доля файлов из набора пустых контейнеров, %	Доля файлов из набора заполненных контейнеров по методу $\pm 1$ , %	Доля файлов из набора заполненных контейнеров по методу СТ-1, %
$0.9 < H \leq 1$	58	62	59
$0.8 < H \leq 0.9$	7	6	7
$0.7 < H \leq 0.8$	2	5	2
$0.6 < H \leq 0.7$	2	5	2
$0.5 < H \leq 0.6$	2	6	3
$0.4 < H \leq 0.5$	2	7	1
$0.3 < H \leq 0.4$	2	8	2
$0.2 < H \leq 0.3$	2	1	2
$0.1 < H \leq 0.2$	1	0	1
$0 < H \leq 0.1$	4	0	6
$H = 0$	18	0	15

Таблица 3. Результаты теста на файлах размером 1024×768 точек

Значение минимума энтропии	Доля файлов из набора пустых контейнеров, %	Доля файлов из набора заполненных контейнеров по методу ±1, %	Доля файлов из набора заполненных контейнеров по методу СТ-1, %
$0.9 < H \leq 1$	44	52	47
$0.8 < H \leq 0.9$	13	9	12
$0.7 < H \leq 0.8$	4	4	4
$0.6 < H \leq 0.7$	2	2	1
$0.5 < H \leq 0.6$	2	6	1
$0.4 < H \leq 0.5$	0	7	1
$0.3 < H \leq 0.4$	1	20	1
$0.2 < H \leq 0.3$	2	0	3
$0.1 < H \leq 0.2$	2	0	1
$0 < H \leq 0.1$	2	0	2
$H = 0$	28	0	27

Из табл. 2 и 3 мы видим, что применение данного теста позволило выявить существенную разницу в методах ±1 и СТ-1. При заполнении контейнеров по алгоритму ±1 области с изначально нулевой неопределённостью нарушились за счёт добавления случайного шума, что можно наблюдать в последних строках табл. 2 и 3; также возрос процент файлов с энтропией, близкой к единице. На рис. 10 и 11 наглядно показаны результаты сравнительных таблиц 2 и 3 для наборов файлов размерами 512×384 и 1024×768.

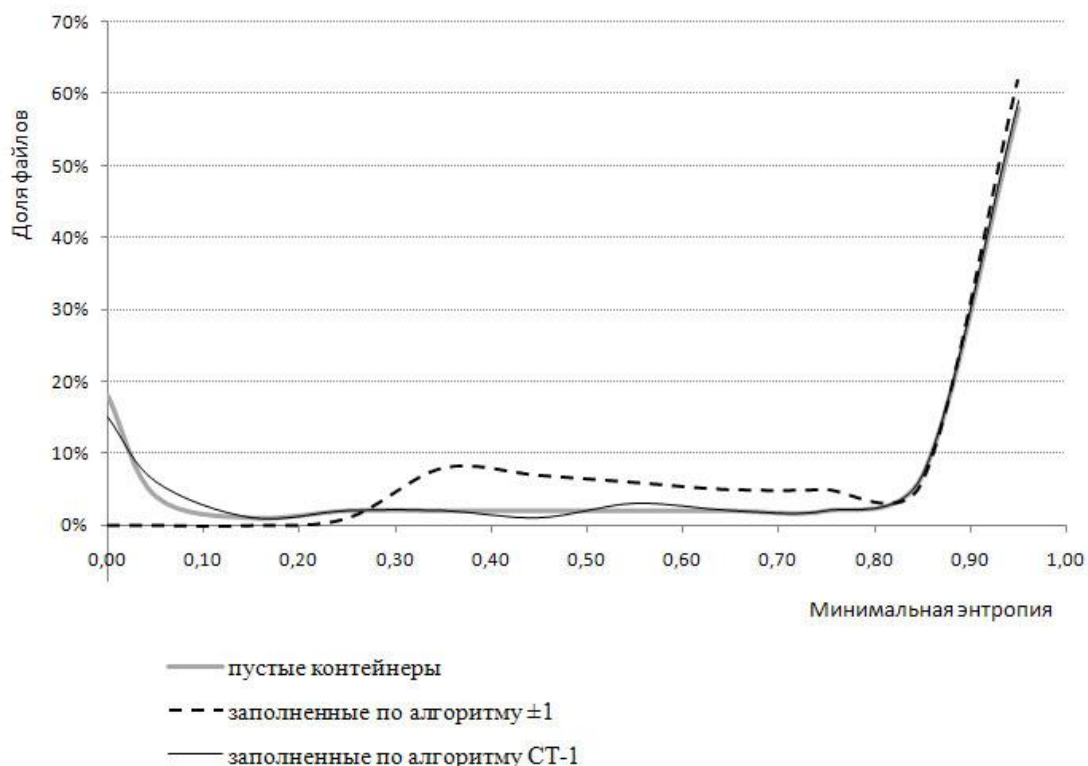


Рис. 10. Результаты теста на минимум энтропии для файлов размером 512×384 – пустых и заполненных по алгоритмам ±1 и СТ-1

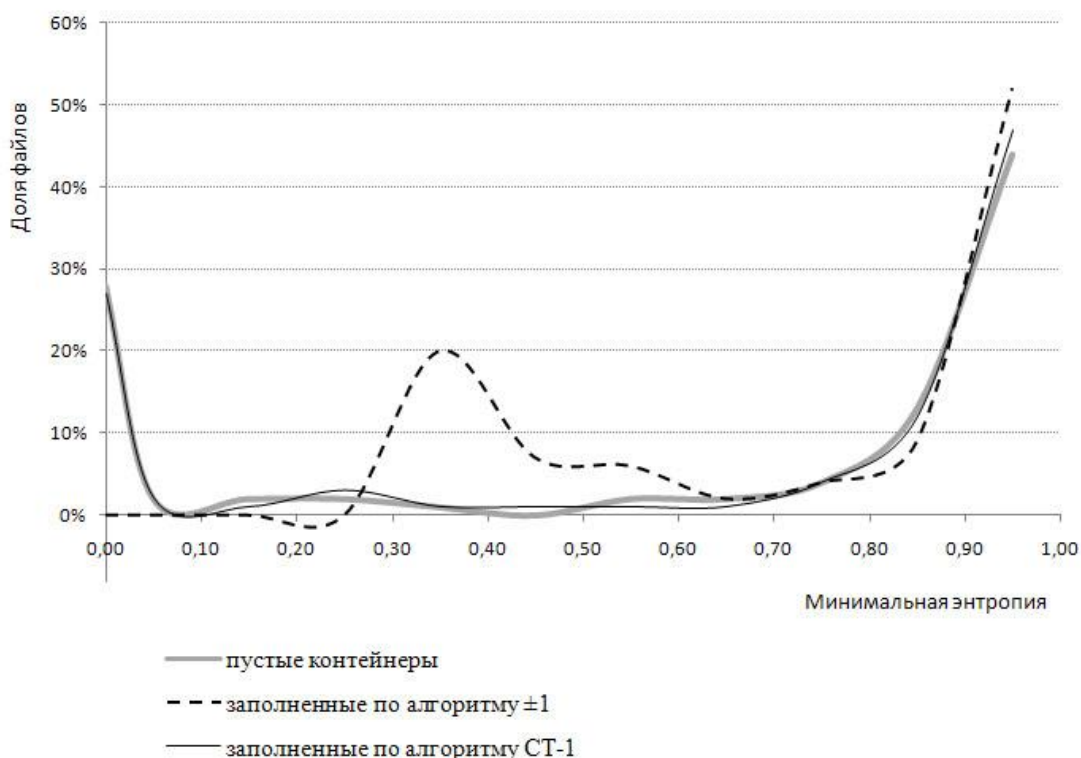


Рис. 11. Результаты теста на минимум энтропии для файлов размером 1024×768 – пустых и заполненных по алгоритмам ±1 и СТ-1

При заполнении контейнера с помощью ±1 энтропия младших бит увеличивается, что свидетельствует о нарушении первоначального распределения вероятностей, в то время как

при заполнении контейнеров совмещённым методом СТ-1 тенденция значений энтропии сохраняется.

#### 4. Стегоанализ предложенного метода

Для оценки алгоритма мы будем использовать метод RS [3]. Анализирующая программа RS-анализа выдаёт количество встроенной информации ( $L$ ) в процентах от эмпирической ёмкости контейнера, которая высчитывается как при LSB-встраивании.

$$C_{LSB} = 3wh \text{ бит.}$$

По значению  $L$  можно судить о том, заполнен был контейнер или пуст: при  $L \geq 5\%$  RS-анализ классифицирует контейнер как заполненный. Также следует отметить, что в цифровой стеганографии существует два рода ошибок. Предположим, имеются две гипотезы:  $H_s$ , означающая, что контейнер содержит стегосообщение, и противоположная ей гипотеза  $H_c$ , означающая, что контейнер не содержит встроенной информации. Правило решения заключается в том, что каждому контейнеру сопоставляется одна из двух гипотез. В этой задаче возможны два типа ошибок: ошибка первого рода, которая заключается в установлении гипотезы  $H_s$ , когда контейнер пуст, и ошибка второго рода, когда принято решение  $H_c$  при наличии встроенной информации в контейнере.

Наша первоначальная схема, использующая только статистическую модель, абсолютно точно выявлялась методом RS. Теперь, когда схема улучшена, мы продемонстрируем, насколько повысилась стойкость метода к известной RS-атаке. Для начала оценим процент возникновения ошибок первого рода для тестового набора из 800 файлов. В табл. 4 показано, что 16 % файлов размером 512×384 и 9 % файлов размером 1024×768 составляют ошибку первого рода.

Таблица 4. RS анализ на наборе пустых контейнеров

$L$		0%	1 – 4%	5% и более
Доля	512×384	5%	79%	16%
файлов	1024×768	33%	58%	9%

Заполним контейнеры случайными данными (имитация зашифрованного сообщения) с помощью совместного алгоритма. Напомним, что эффективная ёмкость контейнеров для данного метода составляет 24 %.

Таблица 5. RS-анализ на наборе контейнеров, заполненных по алгоритму СТ-1

$L$		0%	1-4%	5% и более
Доля	512×384	5%	80%	15%
файлов	1024×768	30%	59%	9%

Результаты стегоанализа, приведённые в таблицах 4 и 5, свидетельствуют о том, что процент обнаружения встроенной информации по предложенному методу приблизительно равен проценту файлов, в которых была ошибка первого рода. Таким образом, мы показали, что метод устойчив к RS-атаке. Далее сравним с результатами стегоанализа для метода  $\pm 1$  (табл. 6).

Таблица 6. RS-анализ на наборе контейнеров, заполненных с помощью метода  $\pm 1$

$L$		0%	1-4%	5% и более
Доля	512×384	4%	75%	22%
файлов	1024×768	31%	52%	18%

По результатам, приведённым в табл. 6, видно, что процент файлов, в которых обнаружена информация, превышает процент ошибки первого рода на 7 % и 9 % соответственно для файлов размером 512×384 и 1024×768. Таким образом, алгоритм СТ-1 является более стойким к RS-анализу. Для более наглядного результата приведём рис. 12, на котором чёрная шкала демонстрирует долю файлов, классифицированных методом RS, как заполненные.

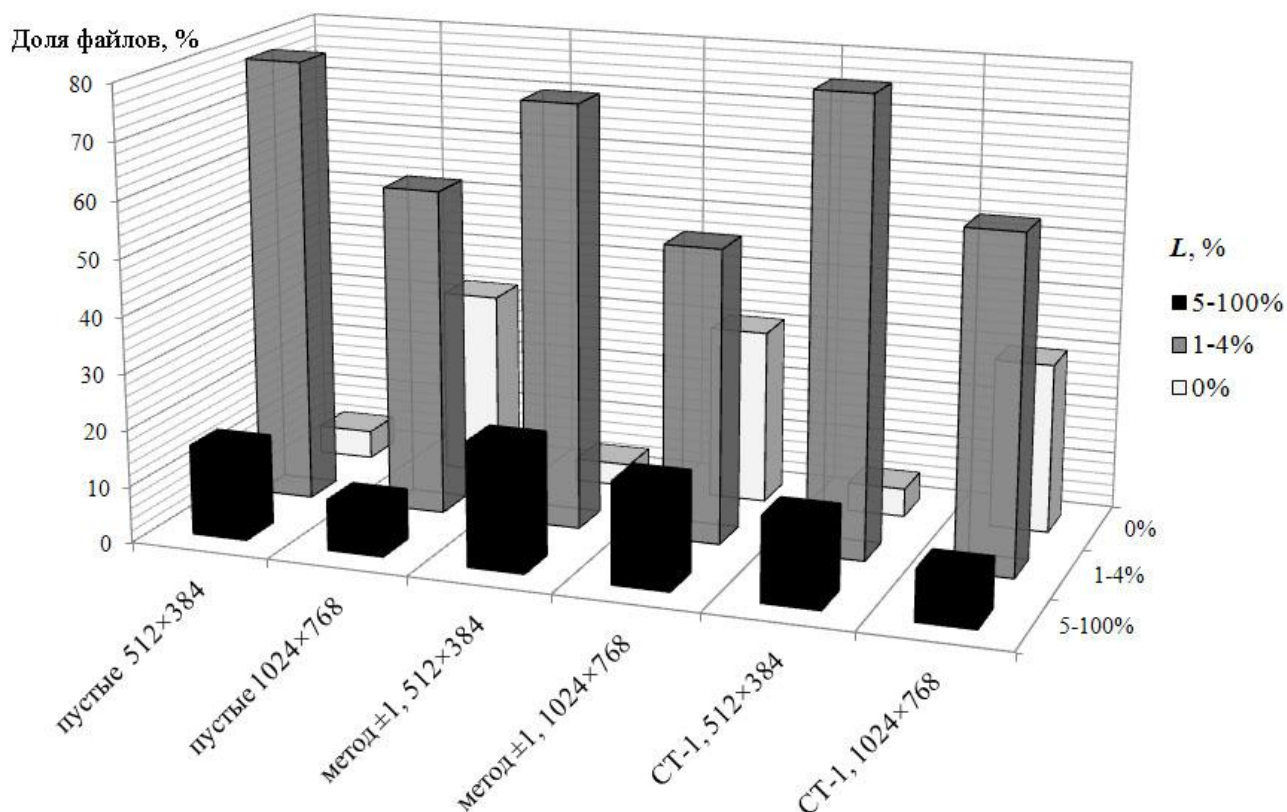


Рис. 12. Результаты RS-анализа для наборов контейнеров – пустых, заполненных методами  $\pm 1$  и СТ-1 на 24 %

## Литература

1. Cachin C. An information-theoretic model of steganography // Lecture Notes in Computer Science (Proc. 2<sup>nd</sup> Information Hiding Workshop). Springer Verlag, 1998. V. 1525. P. 306-318.
2. Елтышева Е. Ю., Фионов А. Н. Построение стегосистемы на базе растровых изображений с учётом статистики младших бит // Вестник СибГУТИ. 2009. № 1. С. 67-84.
3. Digital Image Steganography Using Stochastic Modulation, with M. Goljan, *Proc. SPIE, Electronic Imaging, Security, Steganography, and Watermarking of Multimedia Contents V*, vol. 5020, Santa Clara, California, P. 191-202, 2003.

*Статья поступила в редакцию 19.03.2011;  
переработанный вариант — 03.06.2011.*

### **Елтышева Екатерина Юрьевна**

Ассистент кафедры прикладной математики и кибернетики СибГУТИ, (630102, Новосибирск, ул. Кирова, 86) тел. (383) 2-698-272, e-mail: Katya@Insk.ru.

### **Constructing Stegosystem for Raster Images on the Base of Stochastic Modulation Adjusted for Statistics of Least Significant Bits**

#### **К. Eltysheva**

In the present paper we suggest the method of hiding message in the least significant bits of raster images which was complemented and improved by using well-known scheme  $\pm 1$ . In contrast to  $\pm 1$  method, our scheme codes embedded message under rates of appearing values 0 and 1 in the least significant bits for the purpose of statistic minimum distortion peculiar to empty container. The algorithm of embedding bits in the image matrix is similar to method  $\pm 1$ . Steganalysis of developed algorithm is running and its advantage in comparison to primary one is demonstrated.

*Keywords:* steganography, stegoanalysis, LSB-methods, statistical model, arithmetic coding, perfect stegosystems, method  $\pm 1$ .